

F-981

20/XII-68

ОБЪЕДИНЕННЫЙ
ИНСТИТУТ
ЯДЕРНЫХ
ИССЛЕДОВАНИЙ

Дубна



P6 - 4079

ИМПОРТОРИЯ ЯДЕРНЫХ ПРОБЛЕМ

Л.Гуэтх, Ш.Гуэтх, Э.Дароци, Б.С.Джелепов,
Ю.В.Норсеев, В.А.Халкин

ИССЛЕДОВАНИЕ АЛЬФА-СПЕКТРОВ

^{211}At , ^{211}Po , ^{210}At , ^{209}At И ^{207}At

НА ПОЛУПРОВОДНИКОВОМ АЛЬФА-СПЕКТРОМЕТРЕ

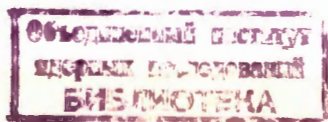
1968

P6 - 4079

Л.Гуэтх, Ш.Гуэтх, Э.Дароци, Б.С.Джелепов,
Ю.В.Норсеев, В.А.Халкин

4606/2 пр

ИССЛЕДОВАНИЕ АЛЬФА-СПЕКТРОВ
 $^{211}_{\text{At}}$ $^{211}_{\text{Po}}$ $^{210}_{\text{At}}$ $^{209}_{\text{At}}$ И $^{207}_{\text{At}}$
НА ПОЛУПРОВОДНИКОВОМ АЛЬФА-СПЕКТРОМЕТРЕ



I. Введение

Изотопы астата впервые были синтезированы искусственным путем в 1940 году ^{1/}. Они распадаются в результате захвата орбитальных электронов и испускания альфа-частиц. Обзор ядерно-физических свойств этих ядер дается в литературе ^{2/}. Альфа-спектры указанных изотопов изучались на магнитных альфа-спектрографах и с помощью ионизационных камер ^{1/}.

Мы имели возможность получить интенсивные источники и исследовать альфа-спектры изотопов астата с $A = 211, 210, 209$ и 207 на полупроводниковом альфа-спектрометре. В настоящей работе уточняются и дополняются данные о распаде этих изотопов, опубликованные нами ранее ^{3/}.

II. Полупроводниковый альфа-спектрометр

Полупроводниковый альфа-детектор (поверхностно-барьерный кремниевый) имел чувствительную поверхность 25 mm^2 . Его разрешение в зависимости от режима работы спектрометра изменялось в пределах 23–28 кэВ в используемом энергетическом диапазоне α -частиц от 4,5 до 7,5 МэВ. Подробное описание спектрометра (предусилитель, главный усилитель, экспандер, калибровочный импульс-генератор) и его калибровка даются в работе ^{4/}.

Измерения спектров проводились с помощью многоканальных анализаторов типа У-52-Р /KFKI/ (Венгрия) с числом каналов 128 и АИ-4096 с числом каналов 256 и 512. Измерения были выполнены в измерительном центре Лаборатории ядерных проблем ОИЯИ.

III. Альфа-источники ^{211}At , ^{210}At , ^{209}At , ^{207}At

Радиоактивные изотопы астата были получены путем глубокого расщепления тория (от 1 до 5 г) на внутреннем пучке синхроциклотрона ОИЯИ протонами с энергией 660 Мэв в течение 0,5–1 часа. Интенсивность протонного пучка – 2 мка. Изотопы астата получались суммированием продуктов прямой реакции $^{90}\text{Th}^{282}(\text{p},\text{6px})^{15}\text{At}^{(227-\infty)}$ и продуктов распада изотопов радона и франция. В зависимости от того, какие изотопы мы хотели изучать, использовались три вида источников астата. Эти источники приготавливались следующим образом.

1. Выделение $^{209-211}\text{At}$

Химическая обработка мишени проводилась через 5–6 часов после конца облучения для того, чтобы изотопы астата с периодом полураспада меньше чем 2 часа успели распасться. Методика соосаждения астата с металлическим Тe и сорбции на катионите из солянокислого раствора была разработана в отделе ядерной спектроскопии и радиохимии Лаборатории ядерных проблем Ю.В. Норсеевым и В.А. Халкиным /5/. Сам процесс выделения и очистки $^{209-211}\text{At}$ занимал 5 часов, при этом выход астата составлял около 60%, а источники содержали ^{209}At , ^{210}At , ^{211}At .

2. Выделение изотопов астата с периодом полураспада 0,5 час и больше ($^{205-211}\text{At}$)

Выделение астата проводилось через 15–20 минут после конца облучения, весь процесс выделения составлял 1,1–2 часа. Использованная методика описывается в работе /8/. Эта методика позволяла получать источники излучения, содержащие изотопы $^{205-211}\text{At}$ и продукты их распада – изотопы полония.

Облучалось 5 граммов тория в течение часа. После облучения мишень выдерживалась 80 часов, при этом в мишени оставался ^{211}At , находившийся в равновесии с ^{211}Ra ($T_{1/2} = 16$ часов), последний распадается путем захвата орбитальных электронов с интенсивностью 74% /1/. Дальнейшее выделение проводилось по методике, описанной в пункте 1. Отношение изотопов ^{211}At : ^{210}At : $^{209}\text{At} = 1:1/30:1/1000$. В качестве подложек источников использовались отполированные платиновые диски диаметром 12 мм и толщиной 0,1 мм. На подложки астат наносился самопроизвольным выделением элемента из азотокислого раствора на отполированную поверхность пластины по методу Ю.В. Норсеева и др. /7/. Платиновая пластинка после осаждения на ней астата тщательно промывалась бидистиллированной водой и высушивалась. Таким образом получались источники без носителя.

IV . Результаты исследования

Для калибровки спектрометра по энергиям были использованы данные /8/ об альфа-группах ^{210}Po (5304,5 кэв), ^{211}At (5868 кэв) и ^{211}Po (7448 кэв). Изотопы ^{210}Po и ^{211}Po возникают в результате К-захвата из ^{210}At и ^{211}At , интенсивность захвата равна 100% и 59%, соответственно.

Энергии альфа-групп определялись с учетом погрешности калибровочных альфа-групп и статистических ошибок в нескольких сериях измерений.

Альфа-спектры $^{211}-209\text{At}$, ^{207}At , $^{211}-208\text{Po}$, ^{206}Po и ^{204}Po приведены на рис.1-3, а результаты измерений в сравнении с данными других авторов сведены в табл. 1.

1. Изотоп ^{211}At

^{211}At ($T_{1/2} \approx 7,5$ часа) впервые был получен Корсоном и др. в 1940 году /9/. По его данным интенсивность распада $^{211}\text{At} \rightarrow ^{207}\text{Bi}$ ($T_{1/2} = 38$ лет /10/) равна 40% и ветви $^{211}\text{At} \rightarrow ^{211}\text{Po}$ ($T_{1/2} = 0,52$ сек /11/) $\approx 60\%$.

Из измерений альфа-спектра ^{211}At на магнитном альфа-спектрометре /12/ и с помощью ионизационной камеры /13,14/ известна только одна интенсивная линия, соответствующая основному альфа-переходу, которая была нами принята в качестве калибровочной. Мы искали линию перехода на первый возбужденный уровень ^{207}Bi (671 кэв /1/) с источником 3 типа. Соответствующая линия с учетом отдачи ядра должна иметь энергию 5210 кэв. Интенсивность этой линии более чем $2 \cdot 10^{-4}$ от основного перехода не обнаружена. На основании измерений альфа-спектров двух источников типа 2 определено разветвление ^{211}At по отношению к интенсивностям альфа-групп ^{211}At и находящегося с ним в равновесии ^{211}Po (рис.2). Интенсивность альфа-ветви ^{211}At равна $41,8 \pm 0,2\%$, распад с захватом орбитальных электронов - $58,2 \pm 0,2\%$.

2. Изотоп ^{211}Po

Альфа-спектр ^{211}Po исследовался в работах /12,15,16,17/. Нейман и Перльман /15/ дают три линии тонкой структуры с энергиями и интенсивностями 6,90 Мэв (0,57%), 6,57 Мэв (0,48%) и 6,34 Мэв (0,07%). Хофф /12/ в спектре, снятом на магнитном спектрографе, обнаружил две первые линии тонкой структуры, а в диапазоне энергий от 6,26 до 6,57 Мэв не нашел никаких других линий с интенсивностью, составляющей больше 0,02% от основной линии. В работе Валена /16/ по исследованию альфа-распада радиоактивной цепочки ^{228}Ra упоминается первая линия тонкой структуры в спектре ^{211}Po . Авторы работы /17/ изучали распад ^{211}Po в радиоактивной цепочке ^{228}Ac . При измерении альфа-гамма-совпадений были обнаружены совпадения между альфа-частицами с энергией 6,90 Мэв и гамма-квантами с $h\nu = 670$ Мэв.

В наших опытах ^{211}Po находился в равновесии с материнским веществом ^{211}At . Мы наблюдали три альфа-линии с энергиями 7,448; 6,891 и 6,571 Мэв (рис. 2), погрешность в определении энергий линий - 4 кэв. Интенсивность этих линий на один акт распада равна соответственно: $98,90 \pm 0,03\%$, $0,57 \pm 0,03\%$ и $0,53 \pm 0,03\%$.

3. Изотоп ^{210}At

Второй изотоп, астат -210 ($T_{1/2} = 8,3$ часа), был синтезирован в 1949 году /18/. Хофф, измеряя альфа-спектр ^{210}At на магнитном спектрографе, нашел три линии с приблизительно одинаковой интенсивностью. По данным этой работы интенсивность распада $^{210}\text{At} \rightarrow ^{206}\text{Bi}$ не превышает 0,2%.

Результаты наших измерений подтверждают существование трех линий: 5524 ± 5 кэв, $5442 \pm 4,5$ кэв и $5361 \pm 3,5$ кэв; их интенсивность соответственно $36,7 \pm 3,4\%$, $34,3 \pm 5,6\%$ и $29,1 \pm 5,6\%$. Период полураспада ^{210}At по нашим данным равен $8,6 \pm 0,4$ часа.

4. Изотопы ^{209}At и ^{207}At

Изотопы астата с атомными весами от 209 до 200 были получены в 1951 году /14/. Согласно работе /14/ интенсивность альфа-распада ^{209}At ($T_{1/2} \approx 5,5$ час) составляет около 5% и ^{207}At ($T_{1/2} = 1,8$ час /1/)- 10% /22/.

Мы получили следующие результаты: интенсивность альфа-ветви ^{209}At равна $4,1 \pm 0,5\%$, а период полураспада - $5,41 \pm 0,05$ час. В случае ^{207}At уточнены энергия линии перехода на основное состояние ^{203}Bi $E_\alpha = 5759 \pm 4$ кэв и период полураспада $T_{1/2} = 106 \pm 3$ мин.

V. Заключение

В данной работе при помощи полупроводникового спектрометра изучен альфа-распад изотопов $^{211-209}\text{At}$, ^{207}At и ^{210}Po .

Измерены энергии и интенсивность альфа-линий. Определена вероятность альфа-распада изотопов ^{211}At , ^{209}At и период полураспада ^{210}At ^{209}At и ^{207}At .

Авторы выражают глубокую благодарность Т.Фенешу за предоставленную возможность использовать полупроводниковый альфа-спектрометр, Л. Трону за помощь при измерениях и К. Я. Громову за обсуждение работы.

Л и т е р а т у р а

1. C.M. Lederer, J.M. Hollander and I. Perlman. *Table of Isotopes* (1967).
2. E.K. Hyde, J. Perlman, G.T. Seaborg. *The Nuclear Properties of the Heavy Elements. Vol. II*, 1077 (1964).
3. Ш. Гуэтх, Б.С. Джелепов, Ю.В. Норсеев, В.А. Халкин. Программа и тезисы докладов XVIII ежегодного совещания по ядерной спектроскопии и структуре атомного ядра. Рига, 25 января-2 февраля 1968г. "Наука", Л., 1968.
4. J. Mahunka, T. Lakatos, T. Fényes. *Atomki Közlemenek*, V, 65 (1963).
5. Ю.В. Норсеев. Диссертация на соискание ученой степени кандидата химических наук, ОИЯИ-ЛГУ, 1965г.; Б.Н. Беляев, Ван Юн-юй, Е.Н. Синотова, Л. Нэмээт и В.А. Халкин. *Радиохимия*, 2, 603 (1960).
6. Ю.В. Норсеев, В.А. Халкин. Препринт ОИЯИ, Р12-3529, Дубна, 1967.
7. Ю.В. Норсеев, Чao Tao-nanъ, В.А. Халкин. *Радиохимия*, 8, №5, 487 (1966).
8. A.H. Wapstra. *Nucl. Phys.*, 57, 48 (1964).
9. D.R. Corson, K.R. MacKenzie and E. Segre. *Phys. Rev.*, 57, 1087 (1940).
10. E.H. Appelman. *Phys. Rev.*, 121, 253 (1961).
11. R.F. Leininger, E. Segre and F.N. Spiess. *Phys. Rev.*, 82, 334 (1951).
12. R.W. Hoff. UCRL-2325 (1953).
13. F.F. Momyer. UCRL-2060 (1953).
14. G.W. Barton, Jr., A. Ghiorso and J. Perlman. *Phys. Rev.*, 82, 13 (1951).
15. H.M. Neuman and J. Perlman. *Phys. Rev.*, 81, 958 (1951).
16. R.F. Walen, V. Nedovessov et G. Bastin-Scoffier. *Nucl. Phys.*, 35, 232 (1962).
17. C.R. Cothern and R.D. Connor. *Bull. Am. Phys. Soc.*, 10, 83 (1965).
18. E.L. Kelley and E. Segre. *Phys. Rev.*, 75, 999 (1949).
19. J.P. Hummel. Report UCRL - 3456 (1956).

20. G.H. Briggs. *Rev. Mod. Phys.*, 26, 1 (1954).
21. P.A. Tove. *Arkiv för Fys.*, 13, 549 (1958).
22. W. Forsling, T. Alväger, L.W. Holm et al. *Arkiv för Fys.*, 19, 83 (1961).
23. A.W. Stoner. *Report UCRL - 3471* (1956).
24. R.W. Hoff, F. Asaro and J. Perlman. *J. Inorg. Nucl. Chem.*, 25, 1303 (1963).
25. W.E. Burcham. *Proc. Phys. Soc.*, A67, 555 (1954).
26. W.E. Burcham. *Proc. Phys. Soc.*, A67, 733 (1954).
27. W.E. Burcham, B.C. Haywood. *Proc. Phys. Soc.*, A69, 862 (1956).
28. A.W. Stoner and E.K. Hyde. *J. Inorg. Nucl. Chem.*, 4, 77 (1957).
29. P. Gray. *Phys. Rev.*, 101, 1306 (1956).

Рукопись поступила в издательский отдел
10 октября 1968 года.

Таблица 1

Сравнение полученных нами значений периода полураспада, вероятности альфа-распада, энергий и интенсивностей альфа-линий изотопов $^{211-208}\text{At}$, ^{207}At и ^{211}Po с данными, полученными различными авторами.

Изотоп	$T_{1/2}$	Разветвление		α -линии	E_α (кэВ)	J_α (%)
		α -распад в %	захват электронов в %			
^{211}At	$7,20 \pm 0,05$ ч. /29/	$41,8 \pm 0,2$	$58,2 \pm 0,2$	α_0	5868 ± 3 /8/	$> 99,98$
	$7,214 \pm 0,007$ ч. /10/	$40,9 \pm 0,5$ /I5/	$59,1 \pm 0,5$ /I5/			$< 0,02$
^{211}Po	0,52 сек. /II/			α_0	7448 ± 2 /8/	$98,90 \pm 0,03$
	$0,56 \pm 0,04$ сек. /2I/				7442 ± 5 /20/	$99,0$ /8/
					7430 /12/	$99,0$ /12/
					7430 /15/	$99,88$ /15/
				α_1	6891 ± 4	$0,57 \pm 0,03$
					$6890,7 \pm 2,5$ /16/	$0,70$ /16/
					6895 /12/	$0,50$ /12/
					6900 ± 40 /15/	$0,57$ /15/
				α_2	6571 ± 4	$0,53 \pm 0,03$
					6569 /12/	$0,53$ /12/
					6570 ± 40 /15/	$0,48$ /15/
^{210}At	$8,6 \pm 0,4$ ч.			α_3	6340 ± 60 /15/	$0,07$ /15/
	$8,3$ ч.	/I8/	$0,17$ /I2/		$5524 \pm 5,0$	$36,7 \pm 3,4$ /12/
				α_0	5525 /12/	32 /12/
					$5442 \pm 4,5$	$34,3 \pm 5,6$
					5443 /12/	31 /12/
^{209}At	$5,41 \pm 0,05$ ч.	$4,1 \pm 0,5$	$95,9 \pm 0,5$	α_1	$5361 \pm 3,5$	$29,1 \pm 5,6$
	$5,5 \pm 0,3$ ч.	/I4/	~ 5 /I4/		5361 /12/	37 /12/
				α_0	5648 ± 4 /8/	$19/$
^{207}At	106 ± 3 мин.			α_0	5759 ± 4	
	I - 4 ч.	/24/			5756 ± 8 /8/	
	2 ч.	/I4/	~ 10		5750 /I4/	
	120 мин.	/25/			5750 ± 40 /25/	
	102 ± 10 мин.	/26/				
	83 ± 8 мин.	/27/			5760 ± 40 /27/	
	107 ± 5 мин.	/28/	~ 10		5750 ± 50 /28/	
	1,8 $\pm 0,2$ ч.	/22/			5750 ± 30 /22/	

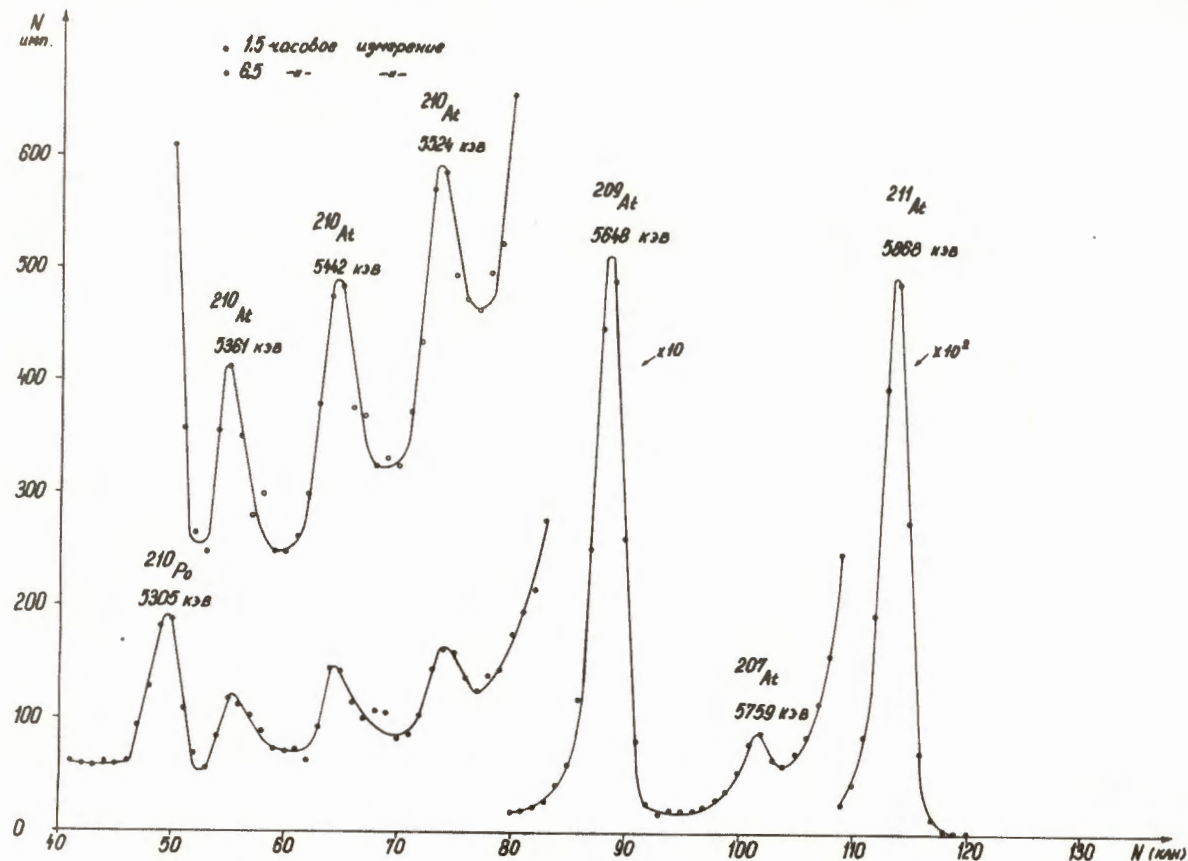


Рис.1. Альфа-линии в спектрах изотопов $^{211-209}\text{At}$, ^{207}At и ^{210}Po (источники типа 1). Спектры сняты на 128-канальном амплитудном анализаторе в энергетическом диапазоне с 5,2 Мэв до 5,8 Мэв, время экспозиции – 1,5 и 6,5 часа.

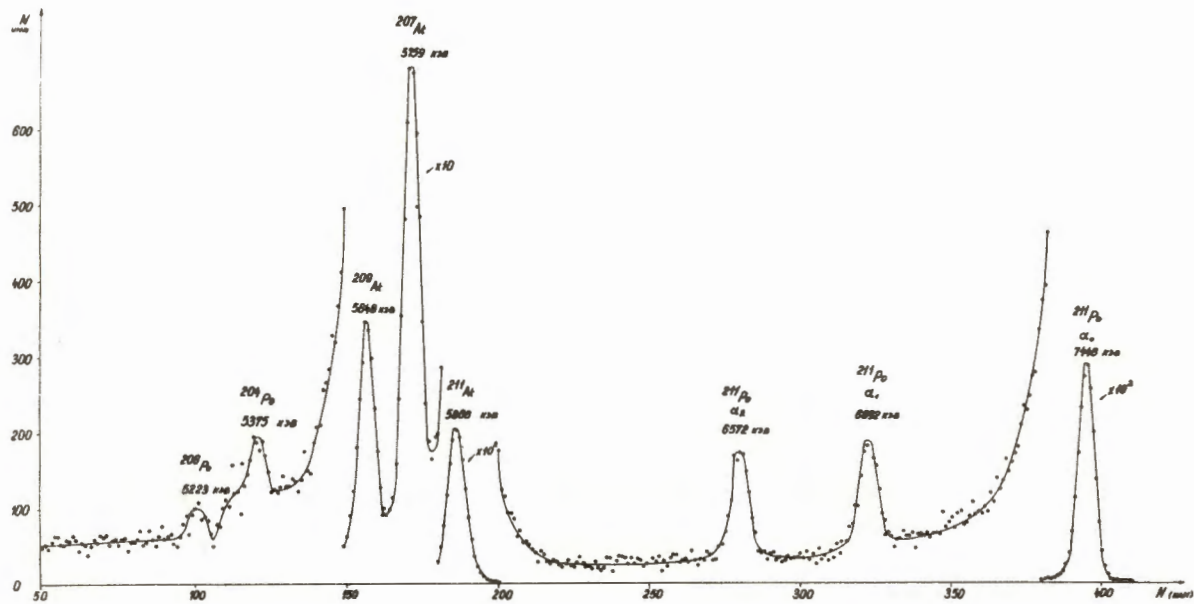


Рис.2. Альфа-линии в спектрах $^{211-209}\text{At}$, ^{207}At , ^{211}Po и ^{204}Po
 (источники типа 2). Спектры сняты в режиме 512-канального анали-
 затора АИ-4096 в диапазоне энергий альфа-частиц с 5,0 Мэв до
 7,5 Мэв, время экспозиции ~ 15 мин.

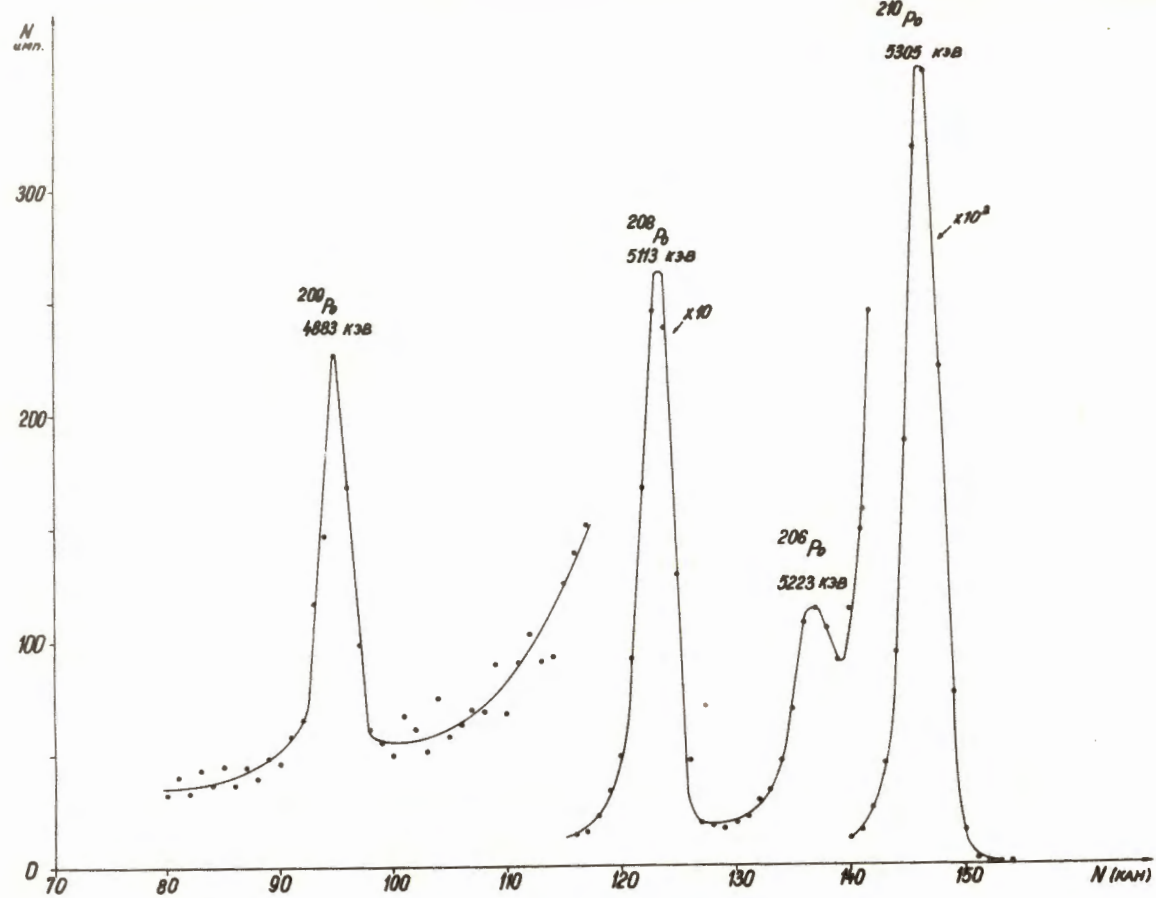


Рис.3. Альфа-линии в спектрах изотопов Po^{210} – Po^{208} (источники типа 2). Спектры сняты через месяц после приготовления источника в режиме 256-канального анализатора АИ-4096 в диапазоне энергий с 4,8 Мэв до 5,4 Мэв, время экспозиции 6 часов.